



鼻咽癌CT图像沿头脚轴旋转与摆位旋转误差相关性

黄星武¹,柏朋刚¹,丘贺金¹,李奇欣¹,李樟²,瞿宜艳¹,杨海松¹,陈传本¹,费召东¹

1. 福建医科大学教学医院/福建省肿瘤医院放疗科,福建福州350014; 2. 福建省龙岩市第一医院放疗科,福建龙岩312006

【摘要】目的:研究鼻咽癌CT扫描时的图像沿头脚轴旋转与相应摆位旋转误差的相关性。**方法:**对2015年1月至5月的111例进行调强放射治疗的本院鼻咽癌病例,自编软件测定CT图像中鼻中隔与地面垂线之间的夹角(Nasal Septum Tilt Angle, NSTA)。同时用XVI系统获得患者沿头脚轴旋转误差(Rotation Around The y Axis, Ry)数据。使用统计软件分析两组数据之间的相关性。**结果:**NSTA与Ry有相关性。以工作人员分组相关性分别为-0.50,-0.38,0.25。以NSTA分组,角度大于1°(75例)、2°(41例)、3°(26例)、4°(16例)时相关性因子分别为-0.47,-0.51,-0.56,-0.50。以Ry角度分组,角度大于1°(65例)、2°(32例)、3°(20例)、4°(9例)时相关性因子分别为-0.43,-0.65,-0.69,-0.77。**结论:**在鼻咽癌调强治疗中,其沿头脚轴方向的旋转误差与患者的鼻中隔倾角角度有负相关性。在CT扫描时可以测量鼻中隔倾角,减少鼻中隔倾角,可以减少患者治疗过程中摆位沿头脚方向的旋转误差。

【关键词】鼻咽癌;强调放射治疗;摆位误差;鼻中隔倾角;旋转误差;y轴

【中图分类号】R739.6;R811

【文献标识码】A

【文章编号】1005-202X(2016)03-0291-02

Correlation between superior-inferior rotation error of nasopharyngeal carcinoma CT images and rotation setup error

HUANG Xing-wu¹, BAI Peng-gang¹, QIU He-jin¹, LI Qi-xin¹, LI Zhang², QU Yi-yan¹, YANG Hai-song¹, CHEN Chuan-ben¹, FEI Zhao-dong¹

1. Department of Radiation Oncology, Fujian Tumor Hospital/Teaching Hospital of Fujian Medical University, Fuzhou 350014, China;

2. Department of Radiation Oncology, First Hospital of Longyan City, Longyan 312006, China

Abstract: Objective To study on the correlation between superior-inferior rotation error of nasopharyngeal carcinoma (NPC) CT images and rotation setup error. Methods Admitted from Jan. 2015 to May 2015, 111 NPC patients treated with intensity-modulated radiotherapy (IMRT) were selected. The angle between nasal septum and vertical line, nasal septum tilt angle (NSTA), in CT image was measured by using self-compiled software, and the rotation setup errors in superior-inferior (y) direction (Ry) were obtained in XVI system. The correlation between the two groups of data was analyzed by statistical software. Results NSTA and Ry showed correction. The correlation coefficients based on staff grouping were -0.50, -0.38 and 0.25; the correlation coefficients based on NSTA grouping were respectively -0.47, -0.51, -0.56, -0.50 in 75 cases with angle larger than 1°, 41 cases with angle larger than 2°, 26 cases with angle larger than 3°, 16 cases with angle larger than 4°; the correlation coefficients based on Ry grouping were respectively -0.43, -0.65, -0.69, -0.77 in 65 cases with angle larger than 1°, 32 cases with angle larger than 2°, 20 cases with angle larger than 3°, 9 cases with angle larger than 4°. Conclusion During the IMRT treatment for NPC, negative correlations are found between superior-inferior rotation errors and patients' NSTA. The NSTA can be measured during the CT scanning. The superior-inferior rotation errors during the treatment can be reduced by reducing the NSTA.

Key words: nasopharyngeal carcinoma; intensity-modulated radiotherapy; setup error; nasal septum tilt angle; rotation error; y axis

前言

【收稿日期】2015-10-14

【基金项目】福建省自然科学基金引导性项目(2015Y0010);福建省临床重点专科建设项目(2012);国家临床重点专科建设项目(2013)

【作者简介】黄星武(1987-),研究方向:医学影像学及放射治疗技术。E-mail:316234857@qq.com。

【通信作者】柏朋刚,E-mail:littwind@sina.cn。

图像引导放射治疗技术(Image Guided Radiotherapy, IGRT)可以很好地监测患者的摆位误差。鼻咽癌调强放射治疗(Intensity-Modulated Radiotherapy, IMRT)是目前精确放疗的代表,同时也是IMRT



中疗效最好的肿瘤之一。因为鼻咽部危及器官众多,正常器官包括脊髓、脑干、腮腺、颞叶、颌下腺、晶体、视神经、视交叉等。使用IGRT技术可以有效地监测鼻咽癌治疗过程中的误差,进而采用相应的措施来减少摆位误差,达到高精度的治疗控制效果。

本研究组前期研究中发现,在鼻咽癌放射治疗的摆位误差中沿头脚方向的旋转误差最为显著^[1]。国外的一些研究者的报道中也有相似的误差测量结果^[2-4]。目前国内的现状,大部分的放疗中心并不能在每次治疗前进行锥形束CT(Cone-Beam CT,CBCT)扫描,同时进行相应的校准。本研究使用患者扫描的计划CT图像,通过自编软件来测量CT图像中鼻中隔与地面垂线之间的夹角(Nasal Septum Tilt Angle,NSTA)与CBCT监测的沿头脚方向的旋转误差(Rotation Around the y Axis,Ry)数据进行对比,研究患者NSTA与Ry之间的相关性,以期在CT扫描时采取措施来减少治疗时的患者摆位误差。

1 材料与方法

1.1 病例基本资料

入组2015年1~5月在本院Synergy加速器下进行鼻咽癌IMRT治疗的患者111例,其中有3组技师对于这些患者进行治疗。患者治疗次数为31~34次。患者CT扫描取仰卧位,在CT机下使用热塑型头颈肩面罩固定体位同时进行模拟定位扫描(扫描层厚3 mm)。将CT图像通过网络系统传输至Pinnacle计划系统(版本9.2)。临床医生结合MRI图像等相关资料进行靶区及危及器官的勾画,物理师进行治疗计划设计。完成治疗计划后将其传输至MO-SAIQ系统中,来驱动加速器进行患者的治疗。

1.2 误差数据获取

本研究从两个方面获取研究数据:(1)每位患者治疗时,在加速器下进行CBCT扫描。使用医科达的X线容积成像(X-ray Volumetric Images,XVI)系统配

准,获得患者Ry数据。(2)在Matlab软件平台下,读取CT图像并显示,手工勾画鼻中隔线,并自动生成垂直线,计算出NSTA。NSTA测量见图1。

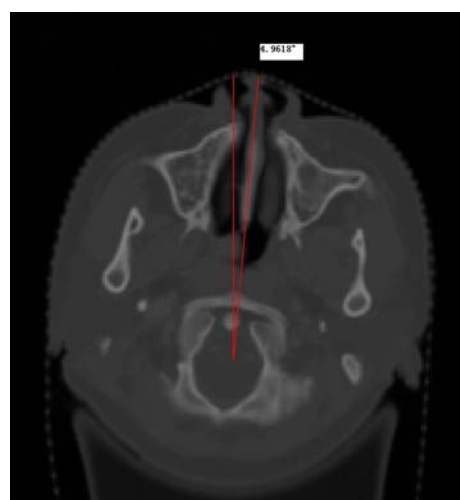


图1 自编软件测量鼻中隔偏转
Fig.1 Nasal septum tilt angle (NSTA) measured by self-compiled software

1.3 统计分析

统计分析采用SPSS16.0软件包,使用Spearman方法对NSTA与患者摆位误差中的Ry行相关分析。

2 结果

2.1 误差的基本数据

111例XVI系统的Ry角度平均为(0.49 ± 2.13)°,NSTA平均为(-0.18 ± 2.46)°。

2.2 相关性分析

按加速器操作技术员的不同对患者的治疗数据进行分组。对3组治疗数据的NSTA与Ry相关性进行分析,相关因子分别为-0.50、-0.38、0.25,它们分别对应的人数为34、38和39。表1按照NSTA和Ry角度分别大于1°、2°、3°、4°分为4组,来分析它们之间的相关性。

表1 基于NSTA测量角度和旋转角度分组的相关性分析

Tab.1 Correlation analysis based on NSTA grouping and superior-inferior rotation angle grouping

Angle	>1°		>2°		>3°		>4°	
	NSTA	Ry	NSTA	Ry	NSTA	Ry	NSTA	Ry
Correlation coefficients	-0.47	-0.43	-0.51	-0.65	-0.56	-0.69	-0.50	-0.77
Number of patient	75	65	41	32	26	20	16	9

NSTA: Nasal septum tilt angle; Ry: Rotation around the y axis

(下转312页)